

### Численные схемы для оператора адвекции в модели локального прогноза

Построению численных схем, аппроксимирующих операторы нелинейного и квазилинейного переноса, посвящена значительная литература. В зависимости от специфики физической задачи на первый план выходят требования более точного описания тех или иных эффектов, что, в свою очередь, обуславливает методику дискретной аппроксимации дифференциального оператора. Приведенные ниже схемы разрабатывались для использования в моделях численного прогноза погоды, где операторы указанного типа «отвечают» за процессы адвективного переноса. Вклад этих процессов в атмосферную циркуляцию возрастает, если в прогностическую модель вводится учет орографии. Специфика данного контекста определила основные требования к схемам аппроксимации оператора переноса.

1) При учете орографии поля компонентов скорости становятся весьма негладкими не только по вертикальной, но и по горизонтальным координатам. В этих условиях обычные вычислительные предположения о малой изменчивости компонентов скорости на расстоянии шага сетки становятся неоправданными. Возникает задача построения вычислительных алгоритмов для адвективного переноса, учитывающих изменчивость его скорости не только с переходом от одной расчетной точки к другой, но и при расчете в данной точке – изменчивость скорости указанного переноса в окрестности этой точки.

2) Учет орографии выполняется заменой исходной декартовой системы координат – новой, связанной с рельефом. В этой новой системе координат скорость вертикальной адвекции не совпадает с вертикальным компонентом скорости в прежней декартовой системе и может превосходить его на порядок даже в условиях пологого рельефа. В этой связи, численный алгоритм расчета вертикальной адвекции в прогностической схеме должен содержать элементы неявной аппроксимации, чтобы обеспечивать вычислительную устойчивость схемы. Таким образом, предлагаемые схемы должны допускать разные варианты аппроксимации пространственных производных – явные, неявные либо промежуточные.

Рассмотрим уравнение одномерного переноса субстанции  $\varphi(t, x)$  вдоль оси  $x$  со скоростью  $u(t, x)$ , где  $t$  – время:

$$\frac{\partial \varphi}{\partial t} + u \cdot \frac{\partial \varphi}{\partial x} = 0. \quad (1)$$

Уравнение данного вида моделирует нелинейный адвективный перенос гидротермодинамических атмосферных характеристик в прогностической модели.

В качестве исходной вычислительной схемы, подлежащей развитию, примем известную схему «направленных разностей» (для простоты обозначений будем говорить о точке пространственной дискретной сетки с индексом «0» и о переходе от момента времени «0» к моменту времени «1»; пространственный индекс указываем внизу переменной, временной – вверху; см. рис. 1):

$$\frac{\varphi_0^1 - \varphi_0^0}{\tau} + u_0^0 \cdot \frac{\varphi_0^0 - \varphi_{-1}^0}{x_0 - x_{-1}} = 0, \text{ если } u_0^0 \geq 0;$$

$$\frac{\varphi_0^1 - \varphi_0^0}{\tau} + u_0^0 \cdot \frac{\varphi_1^0 - \varphi_0^0}{x_1 - x_0} = 0, \text{ если } u_0^0 \leq 0.$$

Или:

$$\varphi_0^1 = (1 - (r_0)_l) \cdot \varphi_0^0 + (r_0)_l \cdot \varphi_{-1}^0, \text{ если } (r_0)_l \geq 0; \quad (2a)$$

$$\varphi_0^1 = (1 + (r_0)_r) \cdot \varphi_0^0 - (r_0)_r \cdot \varphi_1^0, \text{ если } (r_0)_r \leq 0. \quad (2б)$$

В выражениях (2а) и (2б) через  $(r_0)_l$  и  $(r_0)_r$  обозначены «левое» и «правое» числа Куранта в точке  $x_0$ :

$$(r_0)_l = \tau \cdot u_0^0 / (x_0 - x_{-1}), \quad (r_0)_r = \tau \cdot u_0^0 / (x_1 - x_0), \quad (3)$$

где  $\tau$  - временной шаг расчетной сетки.

Условие устойчивости схемы (2а,б):

$$(r_0)_l \leq 1, \text{ если } (r_0)_l \geq 0;$$

$$|(r_0)_r| \leq 1, \text{ если } (r_0)_r \leq 0.$$

Строго это условие устанавливается посредством Фурье-анализа, если число Куранта постоянно.

Физический смысл схемы (2а,б): если  $u_0^0 \geq 0$ , искомое значение  $\varphi_0^1$  принимается равным значению переменной  $\varphi^0$  в точке  $x$ , удовлетворяющей  $x_{-1} \leq x \leq x_0$ , из которой, двигаясь со скоростью  $u_0^0$ , она за время  $\tau$  переместится в точку  $x_0$  (см. рис.1). Значение  $\varphi^0(x)$  определяется линейной интерполяцией по значениям  $\varphi_{-1}^0$  и  $\varphi_0^0$ . Если условие устойчивости  $(r_0)_l \leq 1$  выполнено, то такая точка всегда найдется. Аналогично, если  $u_0^0 \leq 0$ , искомое значение  $\varphi_0^1$  принимается равным  $\varphi^0$  в соответствующей точке  $x_0 \leq x \leq x_1$ . Снова: если условие устойчивости  $|(r_0)_r| \leq 1$  выполнено, такая точка всегда найдется.

Таким образом, схема направленных разностей подразумевает, что скорость переноса  $u^0$  равна  $u_0^0$  на всем шаге пространственной сетки  $[x_{-1}, x_0]$ , если  $u_0^0 \geq 0$ , или на всем шаге сетки  $[x_0, x_1]$ , если  $u_0^0 \leq 0$ . Отсюда, естественное обобщение данной схемы заключается в учете переменного распределения величины  $u^0$  в окрестности данной расчетной точки  $x_0$ . Естественно считать, что скорость  $u^0$  на отрезке  $[x_{-1}, x_0]$  распределена линейно между значениями  $u_{-1}^0$  и  $u_0^0$ , а на отрезке  $[x_0, x_1]$  - линейно между значениями  $u_0^0$  и  $u_1^0$ . (Можно было бы предположить, что  $u^0$  распределено по квадратичной параболе, принимающей в точках  $x_{-1}, x_0, x_1$  значения  $u_{-1}^0, u_0^0, u_1^0$  соответственно, но схемы этого вида до настоящего времени не изучались и в прогностической модели не апробировались.)

Рассмотрим сначала случай  $u_0^0 \geq 0$ . Положение произвольной точки  $x$  на отрезке  $[x_{-1}, x_0]$  будем характеризовать безразмерным параметром  $r$  согласно соотношению

$$r = (x_0 - x) / (x_0 - x_{-1}), \quad 0 \leq r \leq 1. \quad (4a)$$

Линейное распределение величины  $u^0$  на  $[x_{-1}, x_0]$  имеет вид:

$$u^0 = u_0^0 + (x_0 - x) / (x_0 - x_{-1}) \cdot (u_{-1}^0 - u_0^0) = u_0^0 + r \cdot (u_{-1}^0 - u_0^0). \quad (5a)$$

Найдем то значение  $r$ , при котором субстанция  $\varphi$ , двигаясь из точки  $x$ , определяемой соотношением (4а), со скоростью, определяемой выражением (5а), через время  $\tau$  достигнет точки  $x_0$ . Записывая, что путь равен произведению скорости на время, получаем уравнение относительно искомой величины  $r$ :

$$r \cdot (x_0 - x_{-1}) = (u_0^0 + r \cdot (u_{-1}^0 - u_0^0)) \cdot \tau$$

или

$$r = \frac{1}{1 + (r_0)_l - r_{-1}} \cdot (r_0)_l, \quad (6a)$$

где  $(r_0)_l$  - «левое» число Куранта в точке  $x_0$ , см. (3), а  $r_{-1}$  - значение числа Куранта в точке  $x_{-1}$ :

$$r_{-1} = \tau \cdot u_{-1}^0 / (x_0 - x_{-1}). \quad (7a)$$

Считая, что субстанция  $\varphi$  распределена на отрезке  $[x_{-1}, x_0]$  линейно, аналогично скорости  $u^0$ ,

$$\varphi^0 = \varphi_0^0 + r \cdot (\varphi_{-1}^0 - \varphi_0^0) = r \cdot \varphi_{-1}^0 + (1 - r) \cdot \varphi_0^0,$$

получаем разностный аналог уравнения (1), который теперь, в отличие от выражения (2a), реализующего схему направленных разностей, имеет вид

$$\varphi_0^1 = \frac{(r_0)_l}{1 + (r_0)_l - r_{-1}} \cdot \varphi_{-1}^0 + \frac{1 - r_{-1}}{1 + (r_0)_l - r_{-1}} \cdot \varphi_0^0. \quad (8a)$$

Если считать, что дискретная аппроксимация  $(\partial\varphi/\partial t)$  выполняется простейшим образом,

$$\partial\varphi/\partial t \approx (\varphi_0^1 - \varphi_0^0)/\tau,$$

схема (8a) означает, что для аппроксимации слагаемого  $u \cdot \partial\varphi/\partial x$  принимается соотношение

$$\tau \cdot u \cdot \partial\varphi/\partial x \approx r \cdot (\varphi_0^0 - \varphi_{-1}^0). \quad (9a)$$

При  $u_0^0 < 0$ , соотношения (4a)-(9a) заменяются очевидным образом

$$r = (x_0 - x)/(x_1 - x_0), \quad -1 \leq r \leq 0; \quad (4б)$$

$$u^0 = u_0^0 + (x_0 - x)/(x_1 - x_0) \cdot (u_0^0 - u_1^0) = u_0^0 + r \cdot (u_0^0 - u_1^0); \quad (5б)$$

$$r = \frac{1}{1 - (r_0)_r + r_1} \cdot (r_0)_r; \quad (6б)$$

$$r_1 = \tau \cdot u_1^0 / (x_1 - x_0); \quad (7б)$$

$$\varphi_0^1 = -\frac{(r_0)_r}{1 - (r_0)_r + r_1} \cdot \varphi_1^0 + \frac{1 + r_{-1}}{1 - (r_0)_r + r_1} \cdot \varphi_0^0; \quad (8б)$$

$$\tau \cdot u \cdot \partial\varphi/\partial x \approx r \cdot (\varphi_1^0 - \varphi_0^0). \quad (9б)$$

Приведенная вычислительная схема (8a,б) очевидно теряет смысл, если  $r_{-1} = (r_0)_l + 1$ , в случае  $u_0^0 > 0$ , либо если  $r_1 = (r_0)_r - 1$ , в случае если  $u_0^0 < 0$ . Происхождение данного обстоятельства очевидно. Так как речь идет об интегрировании уравнения с переменными коэффициентами, среди решений возможны такие, которые при некоторых значениях независимых переменных  $t$  и  $x$  не описываются дифференциальным уравнением (1) и не аппроксимируются его дискретными аналогами, подобными схеме направленных разностей. В частности, при  $u_0^0 > 0$  равенство  $r_{-1} = (r_0)_l + 1$  отражает тот факт, что значение  $\varphi_{-1}^0$ , смещаясь вправо со скоростью  $u_{-1}^0$ , через время  $\tau$  «догонит» значение  $\varphi_0^0$ , смещающееся со скоростью  $u_0^0$ , и в решении образуется разрыв, не описываемый уравнением (1) и его дискретными аналогами. Сходный смысл имеет равенство  $r_1 = (r_0)_r - 1$ , в случае если  $u_0^0 < 0$ . Очевидно, не только такие значения  $r_{-1}$  (или  $r_1$ ), но и близкие к ним значения не должны допускаться при выполнении расчета, поскольку они чреваты развитием вычислительной неустойчивости. Какую, конкретно, окрестность «критических» значений  $r_{-1}$  или  $r_1$  необходимо исключить из расчета для обеспечения устойчивости схемы – ответ на этот вопрос зависит от (заранее неизвестного) характера

разыскиваемого решения. Поэтому мы ограничимся более жестким достаточным ограничением на величину числа Куранта, которое дает изучение устойчивости схемы (8а,б).

В случае постоянного числа Куранта схема (8а,б) совпадает со схемой направленных разностей и условие устойчивости имеет вид  $|r| \leq 1$ . Пусть теперь число Куранта – переменное и пусть  $(r_0)_1 > 0$  (т.е.  $u_0^0 > 0$ ). Поскольку схема – явная и область ее влияния распространяется на один интервал сетки, можно думать, что условиями устойчивости будут

$$(r_0)_1 \leq 1, r_{-1} \leq 1. \quad (10)$$

Однако, первое из этих условий оказывается лишним. В самом деле, согласно (8а) неизвестная величина с будущего временного слоя дается линейной комбинацией двух величин с прежнего слоя. Второго из условий (10) достаточно, чтобы оба коэффициента данной линейной комбинации были положительными и меньшими единицы, сумма же их всегда равна единице. Следовательно, если

$$r_{-1} \leq 1, \quad (11a)$$

то

$$|\varphi_0^1| \leq \max \{ |\varphi_0^0|, |\varphi_{-1}^0| \}.$$

Аналогично, если

$$|r_1| \leq 1, \quad (11б)$$

то для величины  $\varphi_0^1$ , найденной в силу соотношения (8б),

$$|\varphi_0^1| \leq \max \{ |\varphi_0^0|, |\varphi_1^0| \}.$$

Окончательно, если в каждой расчетной точке  $x_k$  для момента времени «0» оба числа Куранта, «левое» и «правое», не превосходят по абсолютному значению единицу:

$$|\tau \cdot u_k^0 / (x_k - x_{k-1})| \leq 1, \quad |\tau \cdot u_k^0 / (x_{k+1} - x_k)| \leq 1, \quad (12)$$

то норма вектора значений  $\varphi$  в момент времени «1», найденного согласно схеме (8а,б), не превзойдет в метрике С-пространства норму вектора значений  $\varphi$  в момент времени «0». В прогностической системе фигурируют уравнения более общего вида, чем уравнение переноса (1), поэтому условие (12) не гарантирует устойчивости расчета, но может быть принято как исходный ориентир, подлежащий дальнейшему экспериментальному уточнению.

Перейдем к вопросу о неявных аналогах схемы (8а,б), необходимых, если допускать значения чисел Куранта, большие единицы по модулю. Такая необходимость возникает, во всяком случае, при расчете вертикальной адвекции в условиях учета орорафии.

В случае  $(r_0)_1 > 0$ , наибольшим значением  $r_{-1}$ , при котором может применяться явная схема (8а), согласно вышеприведенным соображениям будем считать  $r_{-1} = 1$ .

В этом случае (8а) дает  $\varphi_0^1 = \varphi_{-1}^0$ . Соответственно, при  $(r_0)_r < 0$  и  $r_1 = -1$  схема (8б) дает  $\varphi_0^1 = \varphi_1^0$ . Если  $r_{-1} > 1$ , то значение  $\varphi^0$ , которое приносится в  $X_0$  за время  $\tau$ , расположено в момент времени «0» в точке левее  $X_{-1}$ , и по явной трехточечной схеме рассчитано быть не может. В этом случае необходимо обратиться к какому-либо аналогу схемы (8а,б), использующему элемент неявной аппроксимации. Но прежде всего, следует обобщить выражения (6а,б) для величины  $\Gamma$ , чтобы они сохраняли смысл при любых значениях  $u_{-1}^0, u_0^0, u_1^0$ . Любое такое обобщение по существу будет эквивалентно некоторому предположению о поведении скорости переноса  $u_0$  при  $x < X_{-1}$  и  $x > X_1$  (предположению априорному, не связанному с фактическим распределением  $u_0$  за пределами вычислительного шаблона, поскольку мы хотим сохранить схему трехточечной,

ограниченной точками  $x_{-1}, x_0, x_1$ ). Примем простейшее предположение: при  $x < x_{-1}$ ,  $u^0 = u_{-1}^0$ ; при  $x > x_1$ ,  $u^0 = u_1^0$ . Это означает, что вместо выражений (6а,б) для величины  $r$  принимается в случае  $u_0^0 > 0$ :

$$r = \begin{cases} \frac{1}{1 + (r_0)_1 - r_{-1}} \cdot (r_0)_1 & \text{если } \cdot r_{-1} \leq 1, \\ \frac{1}{r_{-1}} & \text{если } \cdot r_{-1} > 1, \end{cases} \quad (13а)$$

и в случае  $u_0^0 < 0$ :

$$r = \begin{cases} \frac{1}{1 - (r_0)_r + r_1} \cdot (r_0)_r & \text{если } \cdot r_{-1} \leq 1, \\ \frac{1}{r_1} & \text{если } \cdot r_{-1} > 1. \end{cases} \quad (13б)$$

Укажем возможные обобщения схемы (8а,б) за счет привлечения элементов неявной аппроксимации, чтобы расчет сохранял устойчивость также и при  $|r| > 1$ . В этом случае точка  $x$ , из которой значение  $\varphi^0$  в точку  $x_0$  в момент «1» может быть расположена как левее, так и правее точки  $x_{-1}$  (в случае  $u_0^0 > 0$ ), либо левее или правее точки  $x_1$  (в случае  $u_0^0 < 0$ ) – как показано на рис. 1.

Приведем два варианта обобщения схемы (8а,б). В первом варианте определим расположение точки пересечения луча, по которому значение  $\varphi^0$  за время  $\tau$  переносится из точки  $x$  в точку  $x_0$ , с отрезком АВ. Такими точками при  $u_0^0 > 0$  будут или точка  $C_1$  (для случая  $r < 1$ ) или точка  $C_2$  (для случая  $r > 1$ ). Значение  $\varphi$  в такой точке равно (в рамках принятых представлений о том, как совершается перенос) величине  $\varphi_0^1$ . Вместе с тем, легко видеть, что отношение, в котором отрезок АВ делится такой точкой (считая от точки А), независимо от величины  $r$  равно  $1:r$ . Отсюда, принимая линейную интерполяцию переменной  $\varphi$  между точками А и В, находим, что

$$\varphi_0^1 = \frac{1}{1+r} \cdot \varphi_0^0 + \frac{r}{1+r} \cdot \varphi_{-1}^1, \quad (14а)$$

что соответствует аппроксимации  $\tau \cdot u \cdot \partial\varphi / \partial x \approx r \cdot (\varphi_0^1 - \varphi_{-1}^1)$  вместо аппроксимации (9а). При  $u_0^0 < 0$  находим

$$\varphi_0^1 = \frac{1}{1-r} \cdot \varphi_0^0 - \frac{r}{1-r} \cdot \varphi_1^1, \quad (14б)$$

что соответствует аппроксимации  $\tau \cdot u \cdot \partial\varphi / \partial x \approx r \cdot (\varphi_1^1 - \varphi_0^1)$  вместо аппроксимации (9б).

Уравнения (14а,б) относительно неизвестных должны решаться прогонкой.

Во втором варианте поступаем следующим образом. Вычисляем  $r$  согласно (13а) или (13б). При  $|r| \leq 1$  используем одну из явных расчетных формул, (8а), если  $u_0^0 > 0$ , или (8б), если  $u_0^0 < 0$ . При  $|r| > 1$ , вводим элемент неявной аппроксимации. Пусть, например,  $r > 1$  ( $u_0^0 > 0$ ). В этом случае находим (см. рис. 1), что точка Н делит отрезок FA (считая от точки

F) в отношении  $(r-1)/1$ . Полагая, что значение  $\varphi(H)$  дается линейной интерполяцией значений  $\varphi(F) = \varphi_{-1}^0$  и  $\varphi(A) = \varphi_{-1}^1$ , находим, вместо (14а),

$$\varphi_0^1 = \varphi(H) = \frac{1}{r}\varphi_{-1}^0 + \frac{r-1}{r}\varphi_{-1}^1, \quad (15а)$$

что соответствует явной/неявной аппроксимации

$$\tau u(\partial\varphi/\partial x) \sim \varphi_0^0 - \varphi_{-1}^0 + (r-1)(\varphi_0^1 - \varphi_{-1}^1),$$

в которой доля неявной аппроксимации растет с ростом  $r$ .

При  $u_0^0 < 0$  и  $r < -1$ , находим аналогично, вместо (14б),

$$\varphi_0^1 = -\frac{1}{r}\varphi_1^0 + \frac{r+1}{r}\varphi_1^1, \quad (15б)$$

что соответствует аппроксимации

$$\tau u(\partial\varphi/\partial x) \sim -(\varphi_1^0 - \varphi_0^0) + (r+1)(\varphi_1^1 - \varphi_0^1),$$

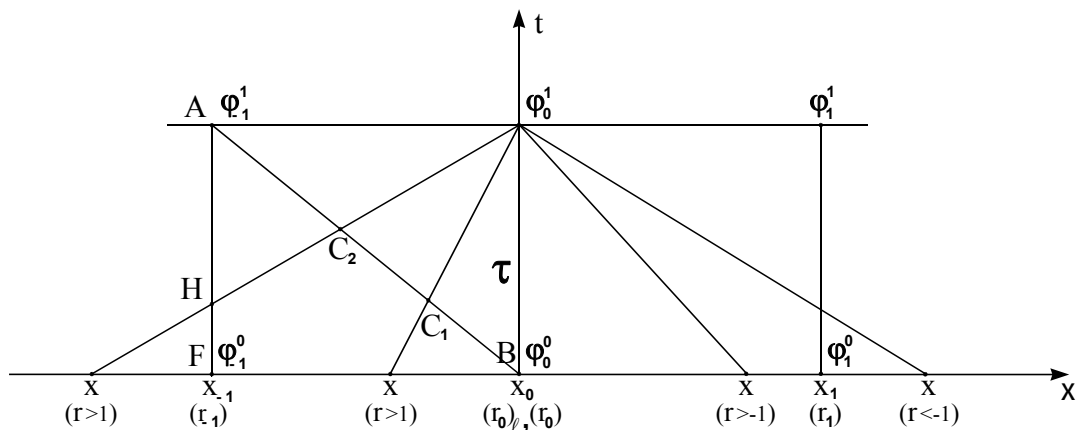


Рис. 1. Схема расчетной сетки.

Обе схемы (14а,б) и (8а,б), (15а,б) – в тривиальном случае  $r=\text{const}$  устойчивы при любом значении  $r$ . В случае же переменного профиля  $u^0$  (и, соответственно,  $r$ ), для обеих схем, поскольку они заключают элементы неявной аппроксимации, невозможен не только Фурье-анализ устойчивости, но и анализ, подобный тому, который был проведен для явной схемы (8а,б). Схема (14а,б) использует полностью неявную аппроксимацию производной  $(\partial\varphi/\partial x)$ , а схема (8а,б), (15а,б) – частично неявную, откуда естественно предположить – и численные эксперименты это подтверждают – что схема (14а,б) сохраняет устойчивость на более широком классе решений, чем схема (8а,б), (15а,б). Одновременно, большая устойчивость схемы (14а,б) связана с большей величиной счетной вязкости и соответствующим ухудшением аппроксимации, сравнительно со схемой (8а,б), (15а,б).

Все вышеизложенные схемы базируются на предположении, что на временном отрезке  $\tau$  субстанция  $\varphi$  переносится из некоторой точки  $X$  в точку  $X_0$  с постоянной скоростью. Переменность скорости переноса  $u^0$  учитывается лишь в том отношении, что из разных начальных  $x$ -точек перенос в конечную точку  $X_0$  совершается с разной скоростью. Естественным завершающим уточнением – в рамках избранных общих представлений –

будет учтено того, что скорость меняется также и в процессе переноса из каждой конкретной  $X$ -точки в точку  $X_0$ .

Начнем, как и выше, со случая  $u_0^0 > 0$  ( $(r_0)_1 > 0$ ). Найдем, как меняется со временем величина  $r$  в точке, смещающейся с переменной скоростью  $u^0$ , даваемой выражением (5а). Дифференцируя по времени соотношение (4а), определяющее  $r$ , получим:

$$\frac{dr}{dt} = -\frac{1}{x_0 - x_1} \frac{dx}{dt} = -\frac{1}{x_0 - x_1} u^0 = -\frac{1}{x_0 - x_1} [u_0^0 + r(u_{-1}^0 - u_0^0)].$$

Таким образом, дифференциальное уравнение, определяющее зависимость  $r(t)$ , имеет вид:

$$\frac{dr}{dt} + \frac{u_{-1}^0 - u_0^0}{x_0 - x_{-1}} r = -\frac{u_0^0}{x_0 - x_{-1}},$$

откуда

$$r(t) = C \cdot \exp\left(\frac{u_0^0 - u_{-1}^0}{x_0 - x_{-1}} t\right) + \frac{u_0^0}{u_0^0 - u_{-1}^0} = C \cdot \exp\left[\frac{((r_0)_1 - r_{-1})t}{\tau}\right] + \frac{(r_0)_1}{(r_0)_1 - r_{-1}}.$$

Постоянная интегрирования определяется из условия  $r(\tau) = 0$ , и окончательно:

$$r(t) = \frac{(r_0)_1}{r_{-1} - (r_0)_1} \cdot \left\{ \exp\left[(r_{-1} - (r_0)_1) \left(1 - \frac{t}{\tau}\right)\right] - 1 \right\}.$$

Искомая величина  $r$ , определяющая, согласно (4а), начальную точку  $x$ , которая, двигаясь с переменной скоростью (5а), переместится за время  $\tau$  в точку  $X_0$ , дается значением  $r(0)$ :

$$r = \frac{\exp(r_{-1} - (r_0)_1) - 1}{r_{-1} - (r_0)_1} (r_0)_1, \quad (r_0)_1 > 0. \quad (16a)$$

Аналогичные выкладки на основе соотношений (4б), (5б) дают для случая  $u_0^0 < 0$  ( $(r_0)_r < 0$ ):

$$r = \frac{\exp((r_0)_r - r_1) - 1}{(r_0)_r - r_1} (r_0)_r, \quad (r_0)_r < 0. \quad (16б)$$

Подведем итог. Отправляясь от схемы «направленных разностей», получаем трехуровневую иерархию численных схем описания адвективного переноса. Все схемы базируются на выражении, определяющем (через известные величины) параметр  $r$ , который, в свою очередь, определяет положение той точки  $x$  в начальный момент времени «0», которая к моменту времени «1» сместится в точку  $X_0$ , принеся туда искомое значение субстанции  $\phi$ . Для исходной модели «направленных разностей» скорость переноса считается независимой от  $x$ -координаты и равной  $u_0^0$  слева от точки  $x_0$  (если  $u_0^0 > 0$ ) или справа (если  $u_0^0 < 0$ ). Выражение для  $r$  в этом случае формируется, исходя только из этого значения  $u_0^0$ , и равно, согласно (3),  $(r_0)_1$  либо  $(r_0)_r$  для  $u_0^0 > 0$ , либо  $u_0^0 < 0$  соответственно. В модели следующего уровня перенос субстанции  $\phi$  из начальной точки  $x$  в конечную точку  $X_0$  по-прежнему считается совершающимся с постоянной скоростью, но сама эта скорость теперь зависит от положения начальной  $x$ -точки, согласно линейным соотношениям (5а), (5б). В этом случае в выражениях для величины  $r$  прежние значения  $(r_0)_1$  и  $(r_0)_r$  снабжаются множителями, согласно (6а) и (6б). Эти выражения теряют смысл при сильной переменности

профиля скорости  $u^0$ , подразумевающей «опрокидывание» потока на протяжении  $\tau$ -интервала времени, и должны быть дополнены ограничениями (11а,б). Наконец, в последней модели скорость потока считается не только зависящей от положения начальной  $x$ -точки, но и меняющейся, согласно тем же соотношениям (5а,б), по мере того, как точка, на протяжении времени  $\tau$ , смещается вдоль оси  $x$ . В этом случае в выражениях для величины  $\gamma$  значения  $(r_0)_1$  и  $(r_0)_\tau$  снабжаются другими множителями, согласно (16а,б). Обратим внимание, что, в отличие от модели предыдущего уровня, теперь множители, которыми снабжаются величины  $(r_0)_1$  и  $(r_0)_\tau$ , - гладкие функции разности чисел Куранта,  $\delta_1$  или  $\delta_\tau$ ,

$$\delta_1 = r_{-1} - (r_0)_1, \quad \delta_\tau = (r_0)_\tau - r_1, \quad (17)$$

монотонно растущие от нуля до бесконечности с ростом  $\delta_1$  и  $\delta_\tau$  от  $-\infty$  до  $+\infty$ . Это очевидно соответствует тому, что в данной физической модели «опрокидывание» потока в пределах  $\tau$ -интервала времени – невозможно. При  $(r_0)_1 > 0$  и  $\delta_1 = 0$ , а также при  $(r_0)_\tau < 0$  и  $\delta_\tau = 0$  - т.е. в случае, если перенос в каком-либо направлении совершается с постоянной скоростью – множитель в (16а) при  $(r_0)_1$  либо множитель в (16б) при  $(r_0)_\tau$  обращается в единицу, и схема совпадает со схемой направленных разностей.

Для каждой из трех приведенных схем возможны обобщения ее за счет привлечения неявной аппроксимации пространственной производной  $\partial\varphi/\partial x$ , позволяющие вести расчет при значениях  $|r| > 1$ . Два таких обобщения подсказываются самой структурой расчетной сетки. Одно ведет к более устойчивой численной схеме с полностью неявной аппроксимацией  $\partial\varphi/\partial x$ : по найденному значению  $\gamma$ , искомое значение  $\varphi_0^1$  рассчитывается в этом случае согласно выражению (14а,б). Другое обобщение комбинирует явную и неявную аппроксимацию  $\partial\varphi/\partial x$ . В этом случае величина  $\varphi_0^1$  рассчитывается согласно (8а,б) в тех точках  $x_0$ , где  $|r| \leq 1$ , и согласно (15а,б) – в тех точках, где  $|r| > 1$ . В явном варианте  $|r| \leq 1$  мы называем эту схему схемой (8а,б) условно, для краткости. В строгом смысле, это будет схемой (8а,б) только в том случае, если величина  $\gamma$  дается выражениями (6а,б). Здесь же мы понимаем ее в более широком значении:  $\varphi_0^1$  дается линейной комбинацией  $\varphi_{-1}^0$  и  $\varphi_0^0$  с весами  $\gamma$  и  $(1-\gamma)$  или комбинацией  $\varphi_1^0$  и  $\varphi_0^0$  с весами  $-\gamma$  и  $(1+\gamma)$ . Поскольку при обоих подходах дискретное уравнение содержит, вообще говоря, значения  $\varphi^1$  в более чем одной расчетной точке, решение не может быть найдено локально и требуется выполнение прогонки.

Для использования каких-либо из приведенных схем в прогностической модели необходимо еще рассмотреть их в частном случае уравнения квазилинейного переноса, который, в терминах уравнения (1), соответствует  $\varphi \equiv u$ :

$$\frac{\partial u}{\partial t} + u \frac{\partial u}{\partial x} = 0. \quad (18)$$

Действительно, даже при отсутствии орографических неоднородностей, механизм переноса каждого компонента скорости по соответствующей ему координате описывается оператором левой части уравнения (18). А в случае учета рельефа, перенос по вертикальной координате также и горизонтальных компонентов скорости (а не только вертикального) описывается с участием данного оператора.

Что дают вышеприведенные схемы применительно к уравнению (18)? Алгоритмически, применимость/неприменимость всех схем остается прежней. Но тем самым данный частный случай как раз иллюстрирует наличие вычислительных трудностей, не обнаруживаемых алгоритмической стороной дела и связанных с описанием нелинейных процессов.



В самом деле, поскольку мы предположили кусочно-линейное распределение начального поля  $u^0$ , даваемое (начнем со случая  $u^0_0 > 0$ ) формулами (4а), (5а), решение уравнения (18) слева от точки  $x_0$  на временном интервале  $(0, \tau)$  может быть выписано аналитически. Общее решение уравнения (18):

$$u(t, x) = f(x - ut), \quad (19)$$

где вид функциональной зависимости определяется заданным начальным распределением  $u(0, x)$ . В нашем случае, согласно (5а),

$$f(x) = u^0_0 + (x_0 - x)(u^0_{-1} - u^0_0)/(x_0 - x_{-1}),$$

и решение (19) в этом конкретном случае превращается в

$$u = \frac{u^0_0 - u^0_{-1}}{x_0 - x_{-1}}(x - ut) - \frac{u^0_0 - u^0_{-1}}{x_0 - x_{-1}}x_0 + u^0_0;$$

$$u = \frac{u^0_0 + \frac{x_0 - x}{x_0 - x_{-1}}(u^0_{-1} - u^0_0)}{1 - \frac{u^0_{-1} - u^0_0}{x_0 - x_{-1}}t} = \frac{u^0_0 + r(u^0_{-1} - u^0_0)}{1 - (r_{-1} - (r_0)_1)\frac{t}{\tau}}.$$

Таким образом, решение представляет собой начальное линейное распределение  $u^0_0$ , которое в течение времени как одно целое растет или затухает для  $\delta_1$  положительного или отрицательного соответственно, см. (17). В частности, к концу шага, через время  $\tau$ ,

$$u^1 = \frac{u^0_0 + r(u^0_{-1} - u^0_0)}{1 - \delta_1},$$

а искомое значение

$$u^1 = u^0_0/(1 - \delta_1). \quad (20a)$$

Аналогично, если  $u^0_0 < 0$ ,

$$u^1 = u^0_0/(1 - \delta_r). \quad (20б)$$

Выражения (20а,б) указывают, в частности, что для квазилинейного переноса, при принятом кусочно-линейном профиле начального распределения точное решение к концу шага теряет смысл, если  $\delta_1 = 1$  (в случае  $u^0_0 > 0$ ) или  $\delta_r = 1$  (если  $u^0_0 < 0$ ). Тот факт, что расчет по схеме (16а,б) алгоритмически выполним и в этом случае, означает, что численное решение «уходит» от решения дифференциального уравнения, что также чревато, вообще говоря, развитием вычислительной неустойчивости и в любом случае нежелательно физически.

Ограничение  $\delta_1 < 1$  (как и  $\delta_r < 1$ ) уже возникало выше в связи со схемой (6а,б). Приведем оценки (ниже мы воспользуемся ими еще в одной связи), указывающие, что в рассмотрении полного диапазона изменчивости  $\delta_1$  (как и  $\delta_r$ ),  $-\infty < \delta_1, \delta_r < \infty$ , нет ни физической необходимости, ни физического смысла. Физически-осмысленные ситуации заведомо оперируют лишь небольшими значениями  $|\delta_1|$  и  $|\delta_r|$ , а ситуации, отвечающие большим значениям этих параметров, физически нереалистичны или катастрофичны, и от расчетных формул в этих условиях естественно ожидать таких эффектов нелинейной неустойчивости, которые, в сколько-нибудь общей форме, аналитическими методами усмотрены быть не могут.

В самом деле, физически мотивированная и вычислительно реализуемая величина временного шага в локальном прогнозе  $\tau \approx 300$  с. Далее, что касается горизонтальной адвекции, пространственный шаг сетки по горизонтальным координатам в нашей модели

$\Delta x = \Delta y = 10^4$  м (что отвечает, по порядку величины, общемировой практике для моделей локального прогноза). Отсюда,  $|\delta_1|$  или  $|\delta_r|$ , равное 1, означает, что соответствующий горизонтальный компонент скорости меняется на расстоянии шага сетки на 33 м/с. Очевидно, таким образом, что не только ограничение  $\delta_1 < 1$  ( $\delta_r < 1$ ) не будет фактическим ограничением при физически репрезентативном расчете, но оправдано и ограничение  $\delta_1 < 0.25$  ( $\delta_r < 0.25$ ). Что касается вертикальной адвекции, единая оценка характерных значений  $\delta_1$ ,  $\delta_r$  затруднена, т.к. вертикальный шаг расчетной сетки меняется с высотой от  $\sim 10$  м у поверхности земли до  $\sim 1000$  м в верхних слоях области прогноза. Но в среднем, величина  $|\delta_1| = 1$  или  $|\delta_r| = 1$  означает, что скорость вертикальной адвекции (в частности, если неоднородный рельеф отсутствует, - просто вертикальная скорость) меняется на 30 см/100 м, так что и в этом случае ограничение  $|\delta_1|$  и  $|\delta_r|$  величиной 0.5, и даже величиной 0.25, физически оправдано. Под ограничениями на величины  $\delta_1$  и  $\delta_r$  мы имеем в виду только соответствующие ограничения при восстановлении величины  $\tau$ , отвечающие той или иной схеме расчета адвекции, но не какое-либо изменение самого поля  $u^0$ , полученного в ходе выполнения предшествующего временного шага. Другими словами, при больших значениях  $|\delta_1|$  или  $|\delta_r|$  мы нарушаем равенства (17), но не меняем величины в правых частях этих неравенств.

Все вышеприведенные схемы вводились в прогностическую модель и испытывались в экспериментальных прогностических расчетах для Московского региона на срок 24 часа. Итоговая статистика влияния разных схем на качество прогноза к настоящему времени отсутствует. Но получены выводы, необходимые в практической работе с данными схемами. Приведем главные из них.

Нетрудно видеть, что с переходом от схемы направленных разностей (2а,б) к схеме (6а,б) область влияния схемы растёт, если  $\delta_1 > 0$  ( $\delta_r > 0$ ) и убывает, если  $\delta_1 < 0$  ( $\delta_r < 0$ ). Для схемы же (16а,б) область влияния при  $\delta_1 > 0$  ( $\delta_r > 0$ ) меньше, чем для схемы (6а,б), но по-прежнему больше, чем для схемы (2а,б), а при  $\delta_1 < 0$  ( $\delta_r < 0$ ) больше, чем для схемы (6а,б), но по-прежнему меньше, чем для схемы (2а,б). Но большая область влияния схемы – при одном и том же расчетном шаблоне – означает больший «запас прочности» схемы в отношении ее устойчивости. Такой запас в нашем случае необходим при описании негладких нелинейных процессов для компенсации основного упрощающего предположения, лежащего в основе всех схем: на всем протяжении шага  $\tau$  скорость адвекции определяется только ее распределением  $u^0$  в начальный момент времени. Эти рассуждения приводят к предположению, что необходимым условием устойчивой работы и схемы (16а,б), и, в особенности, схемы (6а,б) должно быть ограничение на величины  $\delta_1$  и  $\delta_r$  при их отрицательных значениях. Это предположение подтверждается расчетами. Ограничение на отрицательные значения  $\delta_1$  и  $\delta_r$  (мы принимаем  $\delta_1, \delta_r \geq -0.5$  либо  $\delta_1, \delta_r \geq -0.25$ ) необходимо для устойчивости схем (6а,б) и (16а,б), а ограничение на положительные значения не необходимо. Тем не менее, с учетом вышеприведенного анализа квазилинейного переноса и оценок физической оправданности ограничений на величины  $|\delta_1|$ ,  $|\delta_r|$  окончательно мы принимали на обе величины ограничение  $|\delta_1|, |\delta_r| \leq 0.5$ .

В заключение приведем прогностическую иллюстрацию.

На рис.2 и 3 приведены объективный анализ поля температуры ( $^{\circ}\text{C}$ ) для уровня 150 м (средняя высота Московского региона) за 00 МСВ 4 ноября 2001 г. и результат суточного

прогноза на этот же срок: приземная температура, приведенная к уровню 150 м. Расчет горизонтальной адвекции выполнялся по явной схеме направленных разностей, (2а,б),

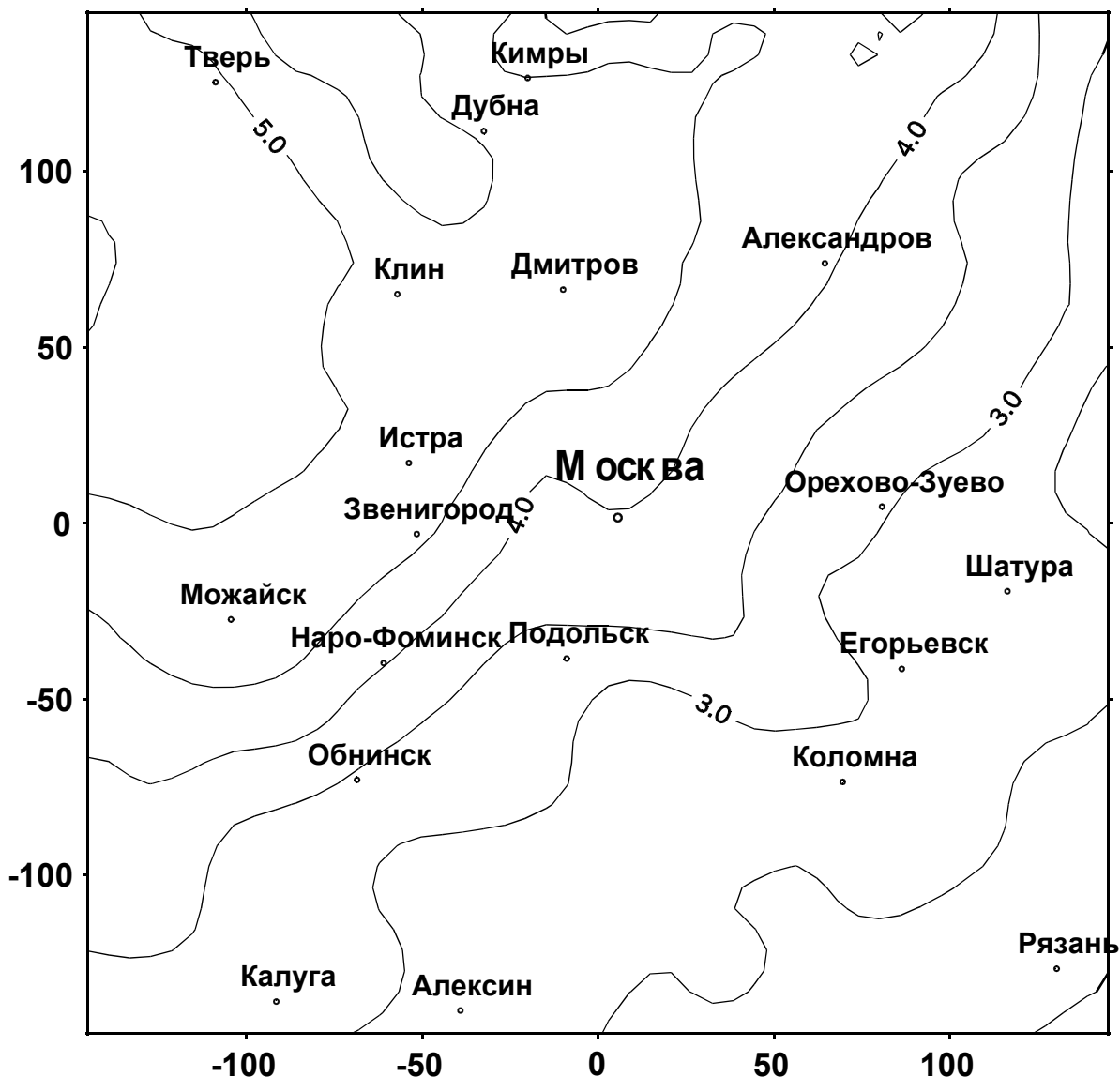


Рис. 2. Анализ температуры ( $^{\circ}\text{C}$ ) на уровне 150 м для Московского региона за 00 МСВ 4 ноября 2001 г.

расчет вертикальной адвекции – также по схеме направленных разностей, но в неявной реализации (14а,б). На рис.4 приведен суточный прогноз того же поля на тот же срок, но с адвекцией, рассчитанной по уточненной схеме (16а,б): для горизонтальной адвекции – в явном варианте (расчетный шаг  $\tau$ , как и в первом прогнозе, выбирался из условия  $|r| \leq 1$  по всей расчетной области), а для вертикальной адвекции – в явном/неявном варианте (8а,б), (15а,б).

Фактическое поле температуры (рис.2) характеризуется значениями в диапазоне от  $2^{\circ}$  до  $-5^{\circ}\text{C}$  и общим ростом температуры с востока на запад и с юга на север.

В прогнозируемых полях, в обоих вариантах, диапазон значений несколько шире фактического, главным образом за счет понижения нижней границы. На рис.3 границы этого диапазона равны  $0.5^{\circ}$  и  $-5.5^{\circ}\text{C}$ , а на рис.4 -  $0^{\circ}$  и  $-4.5^{\circ}\text{C}$  соответственно. В этом отношении два варианта прогноза близки. Однако в других отношениях они расходятся значительно. В варианте уточненного описания адвекции (рис.4) поле заметным образом более

меандрировано, нежели на рис.3. Возможность описания более детальных образований за счет уточненного описания адвективного переноса – налицо. Также и общая ориентация поля на рис. 4 – иная, чем на рис. 3, ближе совпадающая с фактической. На рис. 3 температура в целом растет с севера на юг и с запада на восток, в противоречии с данными анализа (рис. 2), тогда как прогноз на рис. 4 верно отражает рост температуры с юга на север, а в западно-восточном направлении распределение в целом уравновешенное. К особенностям прогноза с уточненной схемой адвекции (рис. 4) относится выраженный температурный минимум в районе Наро-Фоминска/Обнинска, отсутствующий, правда, в данных анализа.

Таким образом, уточненное описание адвективного переноса – необходимый и заметный фактор в повышении детальности и точности гидродинамического локального прогноза.

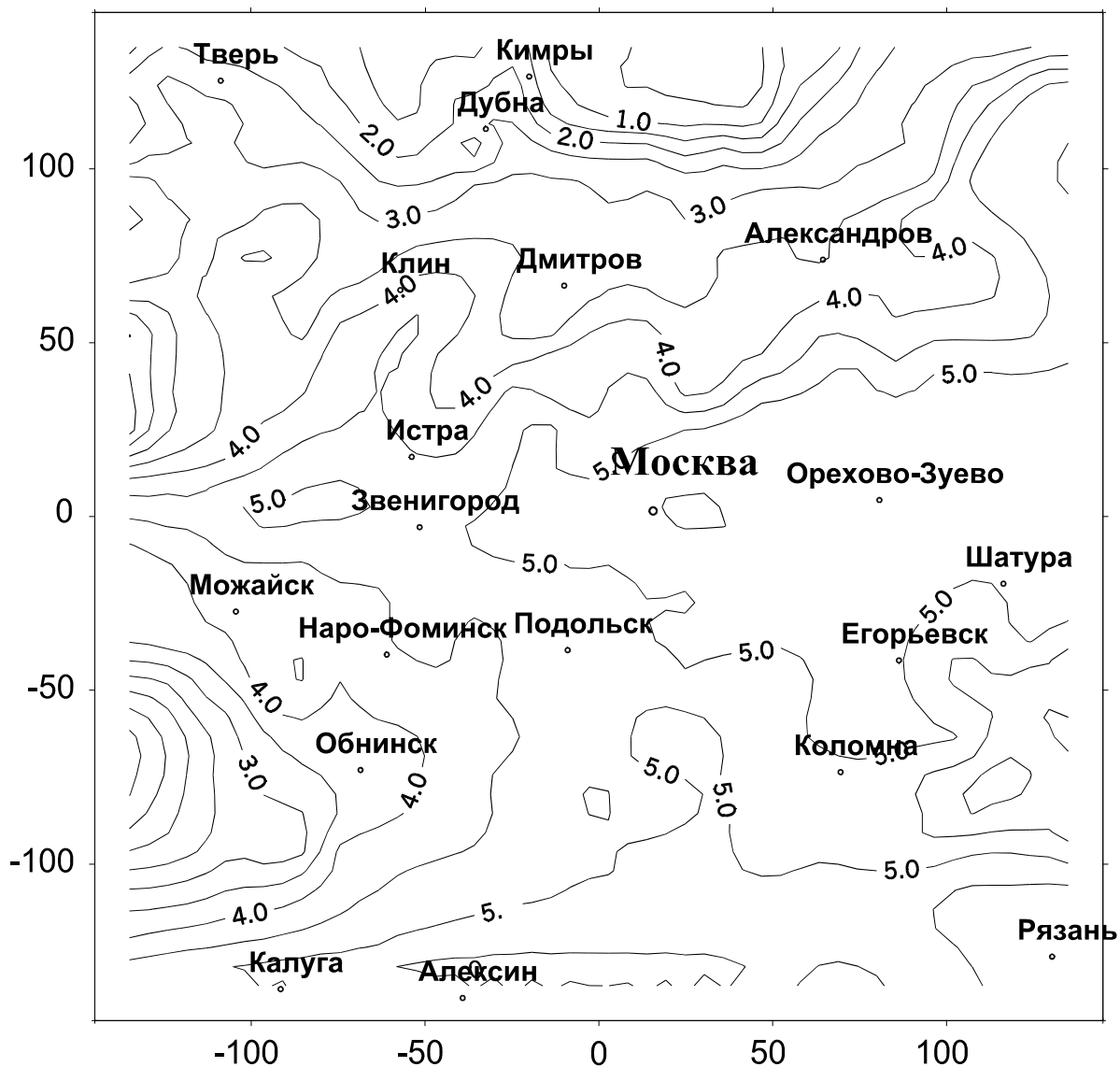


Рис. 3 .Суточный прогноз температуры ( $^{\circ}\text{C}$ ) на уровне 150 м для Московского региона на 00 МСВ 4 ноября 2001 г. (расчет адвекции по схеме направленных разностей).

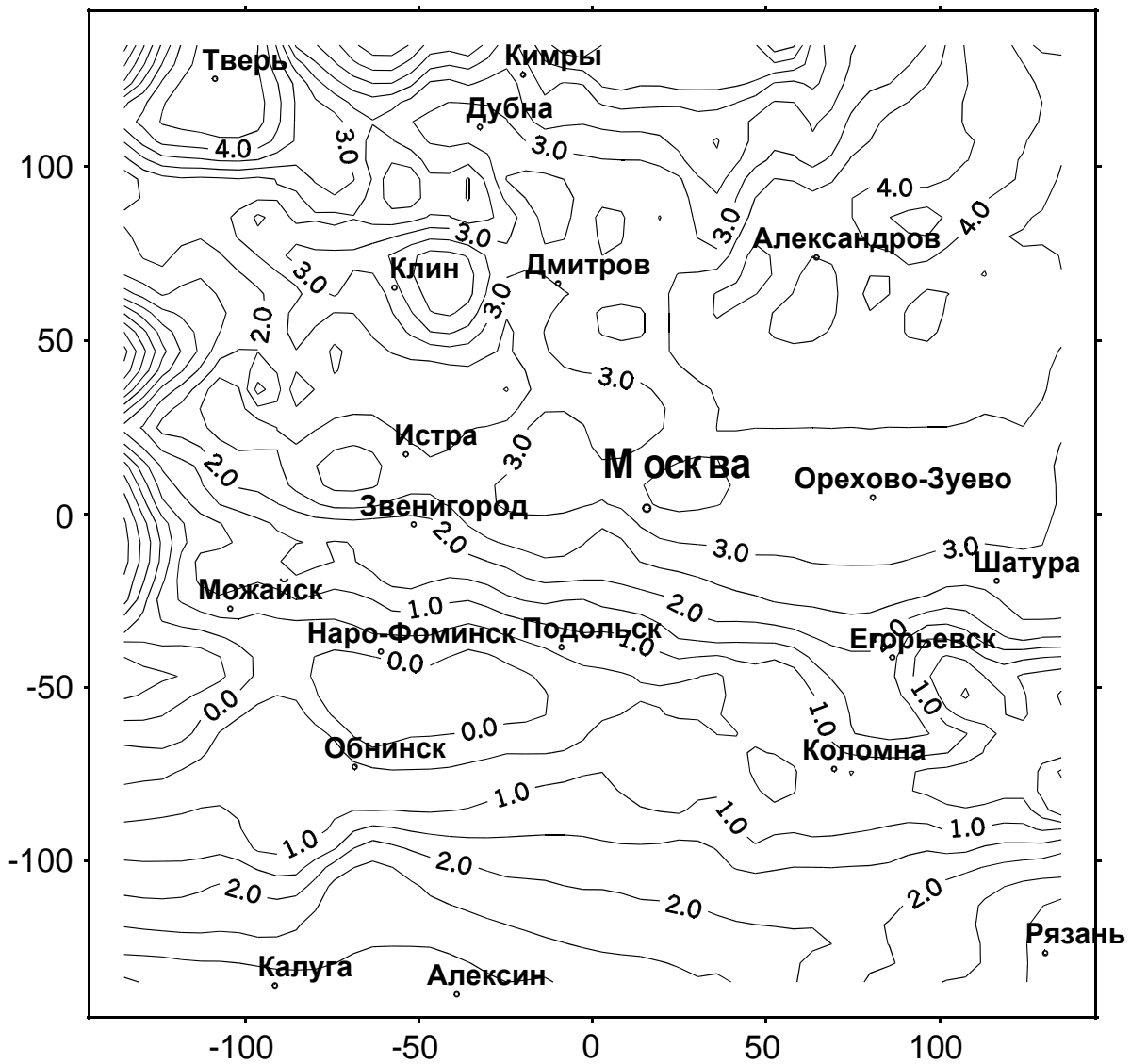


Рис. 4. Суточный прогноз температуры ( $^{\circ}\text{C}$ ) на уровне 150 м для Московского региона на 00 МСВ 4 ноября 2001 г. (расчет адвекции по уточненной схеме).

УДК 551.509.32

**Численные схемы для оператора адвекции в модели локального прогноза.**  
Пекелис.Е.М.// Труды Гидрометцентра России, 2002, с.

Изложена методика построения численных схем, аппроксимирующих линейный (скорость переноса может зависеть от пространственных и временной координат) и квазилинейный операторы переноса. Полученные схемы представляют собой уточнения схемы «направленных разностей», учитывающие изменение скорости переноса в окрестности той точки, относительно которой выполняется дискретная аппроксимация дифференциального оператора. Приводятся примеры прогноза с использованием традиционной схемы направленных разностей и вновь полученных схем.

Ил.4.

Дубликат формул к статье Е.М.Пекелиса «Численные схемы для оператора адвекции в модели локального прогноза»

$$\partial\varphi/\partial t + \mathbf{u} \cdot \partial\varphi/\partial \mathbf{x} = 0. \quad (1)$$

$$\frac{\varphi_0^1 - \varphi_0^0}{\tau} + \mathbf{u}_0^0 \cdot \frac{\varphi_0^0 - \varphi_{-1}^0}{\mathbf{x}_0 - \mathbf{x}_{-1}} = 0, \text{ если } \mathbf{u}_0^0 \geq 0;$$

$$\frac{\varphi_0^1 - \varphi_0^0}{\tau} + \mathbf{u}_0^0 \cdot \frac{\varphi_1^0 - \varphi_0^0}{\mathbf{x}_1 - \mathbf{x}_0} = 0, \text{ если } \mathbf{u}_0^0 \leq 0.$$

$$\varphi_0^1 = (1 - (\mathbf{r}_0)_l) \cdot \varphi_0^0 + (\mathbf{r}_0)_l \cdot \varphi_{-1}^0, \text{ если } (\mathbf{r}_0)_l \geq 0; \quad (2a)$$

$$\varphi_0^1 = (1 + (\mathbf{r}_0)_r) \cdot \varphi_0^0 - (\mathbf{r}_0)_r \cdot \varphi_1^0, \text{ если } (\mathbf{r}_0)_r \leq 0. \quad (2b)$$

$$(\mathbf{r}_0)_l = \tau \cdot \mathbf{u}_0^0 / (\mathbf{x}_0 - \mathbf{x}_{-1}), (\mathbf{r}_0)_r = \tau \cdot \mathbf{u}_0^0 / (\mathbf{x}_1 - \mathbf{x}_0), \quad (3)$$

$$(\mathbf{r}_0)_l \leq 1, \text{ если } (\mathbf{r}_0)_l \geq 0;$$

$$r = (\mathbf{x}_0 - \mathbf{x}) / (\mathbf{x}_0 - \mathbf{x}_{-1}), 0 \leq r \leq 1. \quad (4a)$$

$$\mathbf{u}^0 = \mathbf{u}_0^0 + (\mathbf{x}_0 - \mathbf{x}) / (\mathbf{x}_0 - \mathbf{x}_{-1}) \cdot (\mathbf{u}_{-1}^0 - \mathbf{u}_0^0) = \mathbf{u}_0^0 + r \cdot (\mathbf{u}_{-1}^0 - \mathbf{u}_0^0). \quad (5a)$$

$$r \cdot (\mathbf{x}_0 - \mathbf{x}_{-1}) = (\mathbf{u}_0^0 + r \cdot (\mathbf{u}_{-1}^0 - \mathbf{u}_0^0)) \cdot \tau$$

$$r = \frac{1}{1 + (\mathbf{r}_0)_l - \mathbf{r}_{-1}} \cdot (\mathbf{r}_0)_l, \quad (6a)$$

$$\mathbf{r}_{-1} = \tau \cdot \mathbf{u}_{-1}^0 / (\mathbf{x}_0 - \mathbf{x}_{-1}). \quad (7a)$$

$$\varphi^0 = \varphi_0^0 + r \cdot (\varphi_{-1}^0 - \varphi_0^0) = r \cdot \varphi_{-1}^0 + (1 - r) \cdot \varphi_0^0,$$

$$\varphi_0^1 = \frac{(\mathbf{r}_0)_l}{1 + (\mathbf{r}_0)_l - \mathbf{r}_{-1}} \cdot \varphi_{-1}^0 + \frac{1 - \mathbf{r}_{-1}}{1 + (\mathbf{r}_0)_l - \mathbf{r}_{-1}} \cdot \varphi_0^0. \quad (8a)$$

$$\partial\varphi/\partial t \approx (\varphi_0^1 - \varphi_0^0) / \tau,$$

$$\tau \cdot \mathbf{u} \cdot \partial\varphi/\partial \mathbf{x} \approx r \cdot (\varphi_0^0 - \varphi_{-1}^0). \quad (9a)$$

$$r = (\mathbf{x}_0 - \mathbf{x}) / (\mathbf{x}_1 - \mathbf{x}_0), -1 \leq r \leq 0; \quad (4b)$$

$$\mathbf{u}^0 = \mathbf{u}_0^0 + (\mathbf{x}_0 - \mathbf{x}) / (\mathbf{x}_1 - \mathbf{x}_0) \cdot (\mathbf{u}_0^0 - \mathbf{u}_1^0) = \mathbf{u}_0^0 + r \cdot (\mathbf{u}_0^0 - \mathbf{u}_1^0); \quad (5b)$$

$$r = \frac{1}{1 - (\mathbf{r}_0)_r + \mathbf{r}_1} \cdot (\mathbf{r}_0)_r; \quad (6b)$$

$$\mathbf{r}_1 = \tau \cdot \mathbf{u}_1^0 / (\mathbf{x}_1 - \mathbf{x}_0); \quad (7b)$$

$$\varphi_0^1 = -\frac{(\mathbf{r}_0)_r}{1 - (\mathbf{r}_0)_r + \mathbf{r}_1} \cdot \varphi_1^0 + \frac{1 + \mathbf{r}_{-1}}{1 - (\mathbf{r}_0)_r + \mathbf{r}_1} \cdot \varphi_0^0; \quad (8b)$$

$$\tau \cdot \mathbf{u} \cdot \partial\varphi/\partial \mathbf{x} \approx r \cdot (\varphi_1^0 - \varphi_0^0). \quad (9b)$$

$$\mathbf{r}_{-1} \leq 1, \quad (11a)$$

$$|\varphi_0^1| \leq \max\{|\varphi_0^0|, |\varphi_{-1}^0|\}.$$

$$|\mathbf{r}_1| \leq 1, \quad (11b)$$

$$|\varphi_0^1| \leq \max\{|\varphi_0^0|, |\varphi_1^0|\}.$$



$$|\tau \cdot \mathbf{u}_k^0 / (\mathbf{x}_k - \mathbf{x}_{k-1})| \leq 1, \quad |\tau \cdot \mathbf{u}_k^0 / (\mathbf{x}_{k+1} - \mathbf{x}_k)| \leq 1, \quad (12)$$

$$r = \begin{cases} \frac{1}{1 + (\mathbf{r}_0)_1 - \mathbf{r}_{-1}} \cdot (\mathbf{r}_0)_1 & \text{если } \cdot \mathbf{r}_{-1} \leq 1, \\ \mathbf{r}_{-1} & \text{если } \cdot \mathbf{r}_{-1} > 1, \end{cases} \quad (13a)$$

$$r = \begin{cases} \frac{1}{1 - (\mathbf{r}_0)_r + \mathbf{r}_1} \cdot (\mathbf{r}_0)_r & \text{если } \cdot \mathbf{r}_{-1} \leq 1, \\ \mathbf{r}_1 & \text{если } \cdot \mathbf{r}_{-1} > 1. \end{cases} \quad (13б)$$

$$\varphi_0^1 = \frac{1}{1+r} \cdot \varphi_0^0 + \frac{r}{1+r} \cdot \varphi_{-1}^1, \quad (14a)$$

$$\varphi_0^1 = \frac{1}{1-r} \cdot \varphi_0^0 - \frac{r}{1-r} \cdot \varphi_1^1, \quad (14б)$$

$$\varphi_0^1 = \varphi(H) = \frac{1}{r} \varphi_{-1}^0 + \frac{r-1}{r} \varphi_{-1}^1, \quad (15a)$$

$$\tau \mathbf{u}(\partial \varphi / \partial \mathbf{x}) \sim \varphi_0^0 - \varphi_{-1}^0 + (r-1)(\varphi_0^1 - \varphi_{-1}^1),$$

$$\varphi_0^1 = -\frac{1}{r} \varphi_1^0 + \frac{r+1}{r} \varphi_1^1, \quad (15б)$$

$$\tau \mathbf{u}(\partial \varphi / \partial \mathbf{x}) \sim -(\varphi_1^0 - \varphi_0^0) + (r+1)(\varphi_1^1 - \varphi_0^1),$$

$$\frac{dr}{dt} = -\frac{1}{\mathbf{x}_0 - \mathbf{x}_1} \frac{d\mathbf{x}}{dt} = -\frac{1}{\mathbf{x}_0 - \mathbf{x}_1} \mathbf{u}^0 = -\frac{1}{\mathbf{x}_0 - \mathbf{x}_{-1}} [\mathbf{u}_0^0 + r(\mathbf{u}_{-1}^0 - \mathbf{u}_0^0)].$$

$$\frac{dr}{dt} + \frac{\mathbf{u}_{-1}^0 - \mathbf{u}_0^0}{\mathbf{x}_0 - \mathbf{x}_{-1}} r = -\frac{\mathbf{u}_0^0}{\mathbf{x}_0 - \mathbf{x}_{-1}},$$

$$r(t) = C \cdot \exp\left(\frac{\mathbf{u}_0^0 - \mathbf{u}_{-1}^0}{\mathbf{x}_0 - \mathbf{x}_{-1}} t\right) + \frac{\mathbf{u}_0^0}{\mathbf{u}_0^0 - \mathbf{u}_{-1}^0} = C \cdot \exp\left[\left((\mathbf{r}_0)_1 - \mathbf{r}_{-1}\right) \frac{t}{\tau}\right] + \frac{(\mathbf{r}_0)_1}{(\mathbf{r}_0)_1 - \mathbf{r}_{-1}}.$$

$$r(t) = \frac{(\mathbf{r}_0)_1}{\mathbf{r}_{-1} - (\mathbf{r}_0)_1} \cdot \left\{ \exp\left[(\mathbf{r}_{-1} - (\mathbf{r}_0)_1) \left(1 - \frac{t}{\tau}\right)\right] - 1 \right\}.$$

$$r = \frac{\exp(\mathbf{r}_{-1} - (\mathbf{r}_0)_1) - 1}{\mathbf{r}_{-1} - (\mathbf{r}_0)_1} (\mathbf{r}_0)_1, \quad (\mathbf{r}_0)_1 > 0. \quad (16a)$$

$$r = \frac{\exp((\mathbf{r}_0)_r - \mathbf{r}_1) - 1}{(\mathbf{r}_0)_r - \mathbf{r}_1} (\mathbf{r}_0)_r, \quad (\mathbf{r}_0)_r < 0. \quad (16б)$$

$$\delta_l = \mathbf{r}_{-1} - (\mathbf{r}_0)_1, \quad \delta_r = (\mathbf{r}_0)_r - \mathbf{r}_1, \quad (17)$$

$$\frac{\partial \mathbf{u}}{\partial t} + \mathbf{u} \frac{\partial \mathbf{u}}{\partial \mathbf{x}} = 0. \quad (18)$$

$$\mathbf{u}(t, \mathbf{x}) = f(\mathbf{x} - \mathbf{u}t), \quad (19)$$

$$f(\mathbf{x}) = \mathbf{u}_0^0 + (\mathbf{x}_0 - \mathbf{x})(\mathbf{u}_{-1}^0 - \mathbf{u}_0^0) / (\mathbf{x}_0 - \mathbf{x}_{-1}),$$

$$\mathbf{u} = \frac{\mathbf{u}_0^0 - \mathbf{u}_{-1}^0}{\mathbf{x}_0 - \mathbf{x}_{-1}} (\mathbf{x} - \mathbf{u}t) - \frac{\mathbf{u}_0^0 - \mathbf{u}_{-1}^0}{\mathbf{x}_0 - \mathbf{x}_{-1}} \mathbf{x}_0 + \mathbf{u}_0^0;$$

$$\mathbf{u} = \frac{\mathbf{u}_0^0 + \frac{\mathbf{x}_0 - \mathbf{x}}{\mathbf{x}_0 - \mathbf{x}_{-1}} (\mathbf{u}_{-1}^0 - \mathbf{u}_0^0)}{1 - \frac{\mathbf{u}_{-1}^0 - \mathbf{u}_0^0}{\mathbf{x}_0 - \mathbf{x}_{-1}} t} = \frac{\mathbf{u}_0^0 + r(\mathbf{u}_{-1}^0 - \mathbf{u}_0^0)}{1 - (r_{-1} - (r_0)_1) \frac{t}{\tau}}.$$

$$\mathbf{u}^1 = \frac{\mathbf{u}_0^0 + r(\mathbf{u}_{-1}^0 - \mathbf{u}_0^0)}{1 - \delta_1},$$

$$\mathbf{u}^1 = \mathbf{u}_0^0 / (1 - \delta_1).$$

(20a)